

# ORIGINAL ARTICLE

## *Optimization of Sea Anemone Toxin (fragaceatoxin C) Expression in E.coli BL21*

Babak Abdi<sup>1</sup>,  
Rashid Jamei<sup>2</sup>,  
Mehdi Imani<sup>3</sup>

<sup>1</sup> MSc Student in Biochemistry, Department of Biology, Faculty of Science, Urmia University, Urmia, Iran

<sup>2</sup> Associate Professor, Department of Biology, Faculty of Science, Urmia University, Urmia, Iran

<sup>3</sup> Assistant Professor, Department of Basic Sciences, Faculty of Veterinary Medicine, Urmia University, Urmia, Iran

(Received May 3, 2015 Accepted September 28, 2015)

### **Abstract**

**Background and purpose:** Sea anemones of the genus *Actinia* are commonly found in the intertidal zone of the northern rocky coast of Spain. *Actinia fragacea* is one of the most important species that secretes a toxic protein, fragaceatoxin C (FraC), for defense and hunting purposes. The aim of this study was transformation of plasmid containing the gene encoding the FraC to *Escherichia coli* bacterial strain BL21, and identifying optimum expression condition.

**Materials and methods:** In this experimental study, chemical transformation was conducted by washing the bacteria with cold calcium chloride to take up the plasmid containing the FraC gene. To ensure the transformation of plasmids, bacteria were grown on a medium containing an appropriate antibiotic (ampicillin). For greater certainty, the minipreparation of transformed plasmids was done using GF-1 plasmid extraction Kit. The plasmids were then went under digestion check using NcoI and Hind III enzymes and PCR check. After confirming the presence of a plasmid containing FraC in the host bacteria, the bacteria were induced by 1mM IPTG in different times at 20 °C to find the optimum expression conditions. After collecting bacteria expressing FraC at different times, its expression was visualized on Sodium dodecyl sulfate-polyacrylamide gel (SDS-PAGE).

**Results:** Our results showed that the plasmid containing the FraC was successfully transformed. Also SDS-PAGE results indicated that the FraC was successfully expressed at times of 6 and 8 h using 1mM IPTG at 20 °C.

**Conclusion:** According to the results, both steps of chemical transformation had significantly influenced the transformation efficiency. Following the principles and selecting optimum temperature could help us in finding the optimum conditions for expression of each specific protein in bacteria.

**Keywords:** Sea Anemones, Fragaceatoxin C, transformation, expression, *E.coli*

J Mazandaran Univ Med Sci 2015; 25(132): 62-73 (Persian).

## بھینه‌سازی بیان سم شقایق دریایی (فراگاسیاتوکسین C) در باکتری *E.coli* سویه BL21

بابک عبدی<sup>۱</sup>

رشید جامعی<sup>۲</sup>

مهردی ایمانی<sup>۳</sup>

### چکیده

**سابقه و هدف:** شقایق دریایی از جنس اکتینیا در مناطق جزری سواحل صخره‌ای شمال اسپانیا بسیار متداول است. اکتینیا فراگاسیا یکی از گونه‌های مهم است که پروتئین سمی فراگاسیاتوکسین C را جهت دفاع و شکار ترشح می‌کند. هدف اصلی از این مطالعه، انتقال پلاسمید حاوی ژن کد کننده فراگاسیاتوکسین C به اشیرشیاکلی سویه BL21، بیان و یافتن شرایط مطلوب بیان می‌باشد.

**مواد و روش‌ها:** در این مطالعه تجربی برای انتقال شیمیایی، باکتری‌ها جهت جذب پلاسمید حاوی ژن *FraC* به وسیله کلسیم کلراید سرد شسته و جهت اطمینان از انتقال پلاسمیدها، باکتری‌ها روی محیط حاوی آنتی‌بیوتیک مناسب (آمپیسیلین) کشت داده شدند. برای اطمینان بیشتر، استخراج پلاسمیدها در حجم کم با استفاده از کیت استخراج پلاسمید GF-1 صورت گرفت. سپس تحت برش آنزیم‌های *NcoI* و *Hind III* و همچنین کنترل PCR قرار گرفتند. بعد از تأیید حضور پلاسمید حاوی ژن *FraC* در باکتری میزبان، باکتری‌ها جهت یافتن شرایط مطلوب بیان پروتئین *FraC* توسط ۱mM IPTG در زمان‌های مختلف و دمای ۲۰°C القا شدند. پس از جمع‌آوری باکتری‌های بیان کننده *FraC* در زمان‌های مختلف، بیان آن‌ها روی ژل سدیم دودسیل سولفات پلی‌آکریل آمید (SDS-PAGE) مشهود بود.

**یافته‌ها:** نتایج ما نشان داد که پلاسمید حاوی ژن *FraC* با موفقیت انتقال یافت. هم‌چنین نتایج SDS-PAGE نشان داد که *FraC* در زمان‌های ۶ و ۸ ساعت با استفاده از ۱mM IPTG در دمای ۲۰°C بیشترین بیان را دارند.

**استنتاج:** با توجه به نتایج، هر دو مرحله انتقال شیمیایی تأثیر قابل توجهی در کارایی انتقال دارند. رعایت اصول و دمای مطلوب می‌تواند ما را در یافتن شرایط مطلوب برای بیان هر پروتئین خاص در باکتری‌ها یاری کند.

**واژه‌های کلیدی:** شقایق دریایی، فراگاسیا توکسین C، انتقال، بیان، اشیرشیاکلی

### مقدمه

سبب القای آسیب در سلول‌های هدف می‌گردد. این منافذ غیرانتخابی سبب نقص در دیواره سلولی، عدم تعادل یونی یا جریان کنترل نشده یونی و نفوذپذیری نسبت به انواع

یکپارچگی غشای پلاسمایی برای عملکرد و ثبات سلول‌های زنده ضروری است. بسیاری از پاتوژن‌ها از طریق ایجاد منافذ غشایی به وسیله‌ی پروتئین‌های سمی

E-mail:m.imani@urmia.ac.ir

مؤلف مسئول: مهدی ایمانی - ارومیه: کیلومتر ۱۱ جاده سرو، دانشگاه ارومیه، دانشکده دامپزشکی

۱. دانشجوی کارشناسی ارشد بیوشیمی، گروه زیست‌شناسی، دانشکده علوم، دانشگاه ارومیه، ارومیه، ایران

۲. دانشیار بیوشیمی، گروه زیست‌شناسی، دانشکده علوم، دانشگاه ارومیه، ارومیه، ایران

۳. استادیار بیوشیمی، گروه علوم پایه، دانشکده دامپزشکی، دانشگاه ارومیه، ارومیه، ایران

تاریخ دریافت: ۱۳۹۴/۲/۲۱ تاریخ ارجاع جهت اصلاحات: ۱۳۹۴/۷/۶ تاریخ تصویب: ۱۳۹۴/۷/۶

دریایی تولید می‌شود، سمهای سیتولیتیک سیار قوی هستند که در هر دو عملکرد شکار و دفاع نقش دارند<sup>(۱۳)</sup>. اکویناتوکسین II<sup>۸</sup> که توسط اکتینیا اکوینا ترشح می‌شود نیز عضو این خانواده است که ساختار سه‌بعدی محلول آن به‌وسیله کریستالوگرافی X-ray تعیین شده است<sup>(۱۴)</sup>. اکتینوپورین شقایق دریایی جز α-PFT است. در سم FraC هر مونومر شامل یک هسته ساندویچی بتای تشکیل شده از ۱۰ رشته بتا می‌باشد که به‌وسیله ۳ مارپیچ آلفا احاطه گردیده است. پایانه N، فراگاسیاتوکسین به یک هسته بتا متصل شده است. این هسته شامل یک رشته کوتاه بتا، یک دور مارپیچ ۲۱، ۲۰ و مارپیچ آلفا کوتاه می‌باشد. نه عدد مونومر به‌وسیله پایانه N خود در داخل غشا قرار گرفته و ساختار تاجی شکلی را ایجاد می‌کنند. در ارتباط بین پایانه N با این هسته سه نوع تعاملات درون‌مولکولی دخیل می‌باشند: ۱- پل نمکی بین Asp10 و Lys69 واقع شده در انتهای مارپیچ  $\alpha_1$  ۲- تعاملات آب گریز بین زنجیره جانبی باقی مانده‌های Val8,14,19 و Val8,14,26<sup>۹</sup> ۳- پیوند هیدروژنی در پایانه C مارپیچ  $\alpha_1$  بین Lys23 و Gly27<sup>(۱۵)</sup> (تصویر شماره ۱). این منافذ کاربردهای بالقوه پزشکی در درمان سرطان، شناسایی و نفوذپذیری غشاها زیستی<sup>(۱۶)</sup> و فناوری بیوسنسور دارند. زمانی که سمهای تشکیل دهنده منفذ با مولکول‌های هدف قراردهنده<sup>۱۰</sup> مناسب ترکیب شوند، می‌توانند به عنوان داروهای ضد توموری بسیار قدرتمند مورد استفاده قرار گیرند. ایمنوتوكسین‌ها و میتوتوکسین‌ها مولکول‌های کایمیریکی هستند که در آن‌ها لیگاندهای اختصاصی به سمهای متصل می‌شوند. اگر بخش لیگاند برای سلول توموری اختصاصی باشد، سمهای کایمیریک می‌توانند به طور انتخابی این سلول‌ها را بکشند<sup>(۱۸)</sup>.

هدف اصلی از این مطالعه انتقال پلاسمید pBAT حاوی ژن کد کننده پروتئین فراگاسیاتوکسین C و فراهم کردن شرایط مطلوب جهت بیان این پروتئین در

مولکول‌ها می‌شوند<sup>(۱)</sup>. بنابراین، عملکرد این پروتئین‌های تشکیل دهنده منفذ منجر به اختلال در تمامیت غشا و مرگ سلول می‌گردد<sup>(۲)</sup>. سمهای تشکیل دهنده منفذ<sup>۱</sup> در طیف گسترده‌ای از ارگانیسم‌ها مانند باکتری‌ها، حشرات، بی‌مهرگان دریایی، خزندگان سمی و پستانداران برای مقاصد مختلف از جمله دفاع، حمله و پام‌رانی تولید می‌شوند<sup>(۳)</sup>. به‌طور کلی به صورت مونومرهای PFTs معمولاً بر اساس انواع عناصر ساختار محلول ترشح شده و به سمت غشای سلول هدف منتشر می‌شوند. PFTs معمولاً<sup>۲</sup> بر اساس اینوپورین شقایق دریایی<sup>(۴)</sup> دوم برای عبور از دو لایه لیپیدی پس از شکل‌گیری منفذ طبقه‌بندی می‌شوند<sup>(۴)</sup>. از این‌رو، این سمهای معمولاً به دو دسته تقسیم شده‌اند: α-PFTs و β-PFTs. ساختار چند PFTs در حالت محلول در آب شناسایی شده است. در حالی که تعداد کمی از ساختارهای الیکومری محلول هستند<sup>(۵)</sup>. یکی از نمایندگان α-PFTs یک خانواده از سمهای یوکاریوتی است که به آن‌ها اکتینوپورین‌ها یا سیتولیزین‌ها گفته می‌شود<sup>(۷,۶)</sup>. شقایق دریایی<sup>(۷)</sup> از جنس اکتینیا<sup>۳</sup> در مناطق جزری سواحل صخره‌ای شمال اسپانیا رو به دریای کانتابرین<sup>۴</sup> و خلیج بیسکی فراوان است. اکتینیا اکوینا<sup>۵</sup> یکی از فراوان‌ترین گونه‌ها است و درجه بالایی از پلی‌مورفیسم را نشان می‌دهد: در نمونه‌هایی به صورت سبزرنگ، قهوه‌ای، راهراه یا خال‌حال قرمز می‌توانند دیده شوند. یکی از گونه‌های مهم دیگر اکتینیا فراگاسیا<sup>۶</sup> می‌باشد<sup>(۸)</sup>. اکتینیا فراگاسیا به دلیل لکه‌های زرد یا سبز روی ستون‌های قرمز به عنوان توت‌فرنگی<sup>۷</sup> یا شقایق شناخته شده است. در مقایسه با اکتینیا اکوینا، اکتینیا فراگاسیا تا ۱۰ سانتی‌متر بزرگ‌تر است<sup>(۹)</sup>. شقایق دریایی دونوع پروتئین سمی تولید می‌کنند: نوروتوکسین‌ها، با عملکرد در کانال‌های یونی<sup>(۱۰)</sup> و سیتولیزین‌ها یا اکتینوپورین‌ها، با فعالیت لیز کنندگی در انواع سلول‌ها<sup>(۱۲,۱۱)</sup>. اکتینوپورین‌هایی که توسط شقایق

1- Pore-forming toxins or PFTs

2- Sea anemone

3- Actinia

4- Cantabrian

5- *A. equina*6- *A. fragacea*

7- Starawberry

ابگ ساکند  
تولید ab116027

باکتری اشیرشیاکلی سویه BL21 با استفاده از تکنیک‌های معمول آزمایشگاهی می‌باشد.

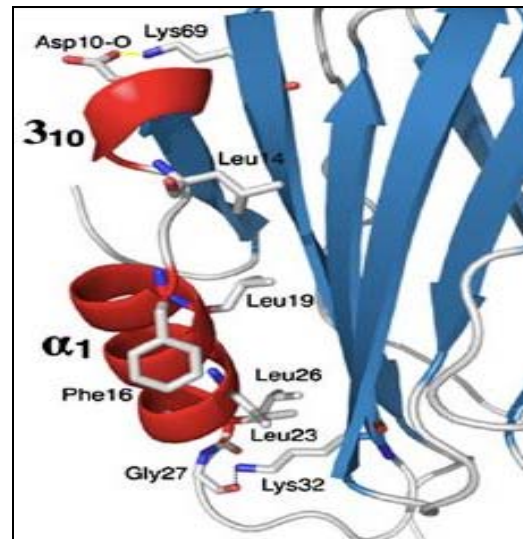
#### کشت باکتری

یک کلونی از باکتری اشیرشیاکلی BL21 را در دمای ۳۷°C و دور ۱۶۰ rpm به مدت یک شب در ۱۰cc محیط کشت اولیه<sup>۱</sup> در انکوباتور شیکردار تلقیح شد. سپس ۱۰cc از محیط کشت اولیه به ۱۰۰cc محیط LB جدید (۱ به ۱۰۰) اضافه گردید. رشد باکتری‌ها با همان شرایط دمایی و دور چرخش به مدت ۴-۵ ساعت ادامه پیدا کرد. محیط کشت حاوی باکتری تا رسیدن به جذب نوری ۰/۵-۰/۷ در طول موج ۶۰۰nm، در دمای ۳۷°C انکوبه گردید. در این بازه جذبی، باکتری‌ها در اوایل مرحله رشد لگاریتمی هستند. این مرحله بهترین زمان برای مستعد کردن باکتری‌ها است.

#### تهییه باکتری‌های مستعد<sup>۲</sup>

محیط حاوی باکتری در دمای ۴۰°C با دور ۱۶۰ rpm به مدت ۴ دقیقه سانتریفیوژ و مایع رویی دور ریخته شد. رسوب باکتریابی دو بار با کلسیم کلراید سرد ۱۰۰ mM شسته شد و هر بار به مدت ۲-۳ دقیقه سانتریفیوژ گردید. پس از دور ریختن مایع رویی، برای بار سوم رسوب با کلسیم کلراید سرد مخلوط و به مدت ۴۵ دقیقه در دمای ۰°C درجه سانتی گراد انکوبه شد. پس از اتمام زمان انکوبه کردن، محلول به مدت ۵ دقیقه در دمای ۴۰°C و با دور ۱۶۰ rpm سانتریفیوژ شده و بعد از حذف مایع رویی، شناور کردن باکتری‌ها در کلسیمکلراید و گلیسرول ۱۵ درصد صورت گرفت. جهت اطمینان از زنده ماندن باکتری‌ها، آن‌ها روی محیط LB جامد بدون آمپیسیلین کشت داده شدند.

#### انتقال پلاسمید



تصویر شماره ۱: باقی مانده‌هایی که پایانه N را به هسته بتای ساندویچی متصل نگه می‌دارند.

## مواد و روش‌ها

### مواد

باکتری اشیرشیاکلی سویه BL21 خریداری شده از مرکز تحقیقات پاستور تهران، مواد مورد نیاز جهت تهییه محیط کشت<sup>۱</sup> LB (تریپتون، عصاره مخمر، NaCL) خریداری شده از شرکت شارلو<sup>۲</sup> انگلستان،

مواد مورد نیاز جهت تهییه ژل سدیم دودسیل سولفات پلی‌آکریل آمید<sup>۳</sup> (آکریل آمید، بیس آکریل آمید، APS<sup>۴</sup>, TEMED<sup>۴</sup>, تریس) از شرکت شارلو انگلستان، انگلستان، آنزیم‌های محدود کننده NcoI و HindIII از شرکت سیگما آمریکا، IPTG<sup>۵</sup> محصول شرکت فرمتاز فرمتاز جهت القای بیان و مارکر پروتئین از شرکت

- 1- Luria-Bertani
- 2- scharlo
- 3- Sodium dodecyl sulfate-polyacrylamide gel
- 4- N,N,N',N'-Tetramethyl ethylene diamine
- 5- Ammonium persulfate
- 6- Isopropyl β-D-1-thiogalactopyranoside

7- Abcam  
8- Pri-culture  
9- Competent

ژن ۵۴۰ نوکلئوتیدی FraC بین جایگاه برش آنزیم های محدود الاثر NcoI و HindIII در پلاسمید pBAT4 قبلاً کلون شده است. اطمینان از حضور ژن FraC در پلاسمید ضروری می باشد. به این منظور

واکنش زنجیره ای پلیمراز<sup>۳</sup> توسط پرایمرهای مناسب از روی ژن الگو انجام شد و محصول واکنش روى ژل آگارز ۱ در صد بارگذاری گردید. پرایمرهای اختصاصی پیشرو و معکوس توسط نرم افزار (جین رانر)<sup>۴</sup> طراحی و توسط شرکت بیونیر کره جنوبی سنتر شد.

#### استخراج و برش پلاسمید

برای اطمینان بیشتر پلاسمیدهای منتقل شده، در مقدار کم استخراج<sup>۵</sup> شدند. این عمل با استفاده از روش لیز قلیابی توسط کیت استخراج پلاسمید GF-1، با هدف لیز کردن باکتری ها و استخراج پلاسمید صورت گرفت. برای اطمینان از حضور ژن کد کننده پروتئین فراگاسیاتوکسین C در داخل پلاسمید pBAT این پلاسمید توسط آنزیم های محدود کننده NcoI و HindIII برش داده شد. برای برش، در دو میکروتیوب میکروتیوب (هر کدام ۱۶ میکرولیتر) پلاسمید استخراج شده، ریخته شد. میکروتیوب اول را با ۲ میکرولیتر آنزیم NcoI و میکروتیوب دوم را با ۲ میکرولیتر آنزیم HindIII مخلوط کردیم. میکروتیوب ها به مدت ۱۰ دقیقه در دمای ۳۷°C انکوبه و پلاسمید های برش داده شده و استخراجی جهت رویت روی ژل آگارز ۱ در صد بارگذاری شدند. ظاهرسازی مولکول های DNA توسط اتیدیوم بروماید انجام گرفت. به دلیل حضور این ماده، مولکول های اسیدنوكلئیک در برابر تابش نور UV خاصیت فلورسانسی پیدا خواهند کرد. اندازه گیری غلظت پلاسمید، با قرائت جذب

برای انتقال ژن FraC از پلاسمید بیانی pBAT استفاده شد. این پلاسمید دارای ژن مقاوم به آنتی بیوتیک آمپی سیلین است. انتقال پلاسمید حاوی ژن کد کننده فراگاسیاتوکسین C به باکتری تکثیری اشیرشیاکلی BL21 با روش شوک حرارتی صورت گرفت. ۱۰ نانو گرم (۲ میکرولیتر) با غلظت ۰۰۵ نانو گرم بر میکرولیتر از پلاسمید حاوی ژن FraC به میکروتیوب حاوی ۱۰۰ میکرولیتر باکتری اشیرشیاکلی BL21 مستعد افزوده شد. میکروتیوب حاوی باکتری های مستعد و پلاسمید را به مدت ۵۰ دقیقه در دمای ۴۰°C قراردادیم. به منظور ایجاد شوک حرارتی، انکوبه کردن باکتری ها به مدت ۲ دقیقه در دمای ۴۲°C صورت گرفت. جهت رشد بهتر باکتری های ترانسفورم شده، ۱۰۰ میکروتیوب SOC<sup>۱</sup> به میکروتیوب میکروتیوب اضافه شده و به مدت ۱ ساعت در دمای ۳۷°C در انکوباتور شیکردار انکوبه شدند. سپس محتوای میکروتیوب به مدت ۳ دقیقه در دور ۴۰۰۰ rpm سانتریفیوژ و رسوب در ۱۰۰ میکرولیتر از محیط SOC معلق گردید. جهت اطمینان از انتقال پلاسمید ۵۰ میکرولیتر از باکتری ها، به وسیله بخش کننده شیشه ای روی پلیت LB حاوی آنتی بیوتیک آمپی سیلین کشت داده شدند. کنترل های مثبت و منفی نیز اعمال گردید.

#### محاسبه کارایی انتقال

کارایی انتقال بر اساس روش ژایمینگ<sup>۲</sup> تورو و همکارن (۲۰۰۵) به وسیله فرمول های زیر محاسبه شد (۱۹).

$$\text{تعداد کلنی های منتقل شده}^{\circ} = \text{تعداد کلنی های باکتریایی} \times \text{میزان رقت} \times \text{میزان حجم مخلوط منتقل سازی} \times \text{حجم پلیت}$$

کارایی انتقال = تعداد کلنی های منتقل شده (CFU) / غلظت پلاسمید مورد استفاده بر حسب میکرو گرم

حضور ژن در پلاسمید

3- Polymerase chain reaction (PCR)

4- Gene runner

5- Miniprep

6- Monodigest

1- Super Optimal Broth with catabolite repression  
2- Colony forming units

برای سنجش غلظت کل پروتئین موجود در محلول باکتریایی لیز شده، از روش سنجش پروتئین برادفورد<sup>۵</sup> استفاده شد. در این روش جهت رسم نمودار استاندار در ۱۰ لوله آزمایش مقادیر ۵، ۱۰، ۱۵، ۲۰، ۲۵، ۳۰، ۳۵، ۴۰، ۴۵ و ۵۰ میکرولیتر از پروتئین استاندارد<sup>۶</sup> BSA با غلظت ۱mg/ml ریخته و حجم هر لوله را به وسیله آب دو بار تقطیر به ۱۰۰ میکرولیتر رسانیدیم. سپس به هر کدام از لوله‌ها ۲CC معرف برادفورد اضافه کردیم و بر اساس جذب نوری هر نمونه در طول موج ۵۹۵nm نمودار استاندارد رسم گردید. بر اساس شب نمودار استاندارد و جذب نمونه پروتئینی موردنظر، غلظت مجھول به دست آورده شد.

#### بررسی بیان پروتئین

محیط حاوی باکتری لیز شده در دمای ۴۰°C و دور ۱۲۰۰rpm به مدت ۱۵ دقیقه سانتریفیوژ گردید. پروتئین‌های باکتریایی در مایع رویی شناور شده، اما اسیدهای نوکلئیک، لپیدها و بقایای باکتری‌های لیز شده رسوب می‌کنند. جهت مشاهده پروتئین بیان شده و مقایسه با الگو پروتئینی باکتری‌های القا نشده، مایع رویی روی ژل سدیم دود سیل سولفات پلی‌آکریل آمید بارگذاری شد. برای یافتن شرایط مطلوب بیان پروتئین فراگاسیاتوکسین C، در زمان‌های ۲، ۳، ۴، ۶، ۸ و ۹ ساعت بعد از القا نمونه‌هایی جهت بارگذاری روی ژل برداشته شد. نهایتاً با مشاهده الگو باندهای در مورد شرایط مطلوب بیان قضاوت به عمل آمد.

#### یافته‌ها

##### رشد باکتری‌های مستعد

پس از مستعد کردن باکتری‌های اشیرشیاکلی سویه BL21 به وسیله کلسیم کلراید سرد، جهت اطمینان از زندگاندن باکتری‌ها در طی فرایند مستعد کردن، آن‌ها را روی پلیت LB بدون آنتی‌بیوتیک رشد داده شدند. مشاهده

محلول پلاسمیدی در طول موج‌های ۲۶۰ و ۲۸۰ نانومتر توسط دستگاه اسپکتروفوتومتر UV/Visible انجام شد.

<sup>۱</sup> بیان

در این مرحله یک کلنی از باکتری (باکتری‌هایی که پلاسمید به آن‌ها منتقل شده است) در ۱۰CC محیط کشت اولیه LB حاوی آنتی‌بیوتیک آمپی‌سیلین به مدت یک شب در دمای ۳۷°C در انکوباتور شیکردار انکوبه گردید. سپس ۱CC از محیط کشت اولیه به ۱۰۰CC محیط LB جدید حاوی آنتی‌بیوتیک آمپی‌سیلین اضافه و تا رسیدن به جذب نوری ۰/۵-۰/۷ در طول موج ۶۰۰nm در دمای ۳۷°C و دور ۱۶۰rpm انکوبه شد. بعد از رسیدن به کدورت مطلوب، ۱۰CC از محیط به عنوان نمونه بدون القا و شاهد برداشته شده و به باقی مانده محیط IPTG با غلظت نهایی ۱ میلی‌مولار اضافه گردید. بعد از اضافه کردن IPTG، دما را تا حد مطلوب (۲۰-۲۲°C) کاهش دادیم. در دمای ۲۰-۲۲ درجه سانتی گراد به مدت چندین ساعت بعد از القا فرایند بیان صورت گرفت.

لیز باکتری‌های حاوی پروتئین فراگاسیاتوکسین C محلول باکتری‌های بیان کننده پروتئین مورد نظر در دمای ۴۰°C به مدت ۱۵ دقیقه با دور ۵۰۰rpm سانتریفیوژ شد. مایع رویی دور ریخته شده و رسوبات باکتریایی در بافر لیز کننده<sup>۷</sup> (شامل NaCl 300mM، HCL 50mM، امیدازول ۱۰mM و PMSF ۱mM) معلق گردید. محلول به مدت ۲۴ ساعت در دمای ۷۰°C-انکوبه شد. قبل از لیز باکتری‌ها، جهت حفاظت از پروتئین<sup>۸</sup> DTT و EDTA با غلظت نهایی ۱ میلی‌مولار اضافه شد.

نهایتاً، بعد از ذوب محلول در حمام آب ۹۰°C باکتری‌های بیان کننده توسط دستگاه سونیکاتور<sup>۹</sup> در ۳۰ چرخه ۱ دقیقه‌ای تحت لیز مکانیکی قرار گرفتند.

#### غلظت سنجی پروتئین

- 7- Expression
- 2- Lysis buffer
- 3- Dithiothreitol
- 4- Sonicator

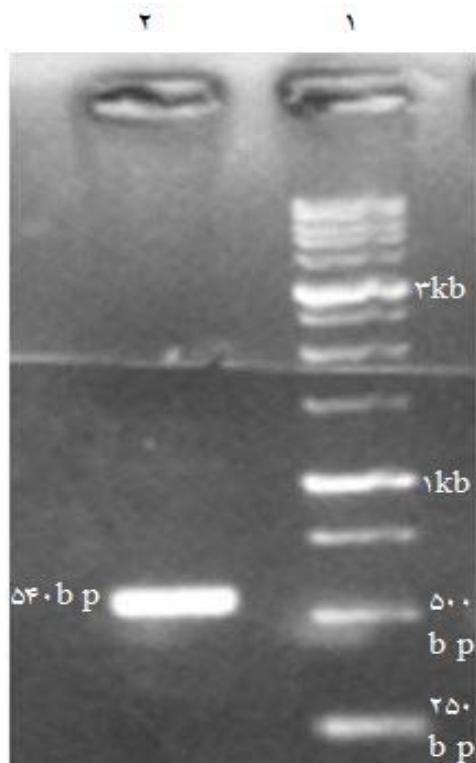
5- Bradford assay  
6- Bovine serum albumin

تایید حضور ژن در پلاسمید  
پرایمرهای طراحی شده با استفاده از نرم افزار جین رانر در جدول شماره ۱ مشاهده می‌شود.

جدول شماره ۱: پرایمرهای طراحی شده جهت PCR

	آنزیم محدود کننده	توالی	پرایمر
BamHI Ncol		GGAGGGATCCATGGCCGAT GTTGCAGGTG	پیشرو
HindIII		GCGGAAGCTTAGCCCCGGTC ACGTGAATTCCAG	معکوس

محصول PCR روی ژل آگارز ۱ درصد بارگذاری شد. نتایج یک باند ۵۴۰ نوکلئوتیدی را نشان داد. محصول واکنش که یک باند ۵۴۰ نوکلئوتیدی است، بر روی ژل آگارز ۱ درصد رؤیت شد. این باند تأیید کننده حضور ژن pET28a در پلاسمید می‌باشد (تصویر شماره ۲).



تصویر شماره ۱: الکتروفورز ژل آگارز محصول PCR. چاهک ۱ ژن pET28a با طول حدود ۵۴۰ نوکلئوتید را نشان می‌دهد و چاهک ۲ نرده بان ۱ DNA Kb را نشان می‌دهد.

### ژل آگارز

شد که باکتری‌ها زنده‌اند و بعد از انکوبه شدن پلیت در دمای ۳۷°C به مدت ۱۶ ساعت به راحتی رشد کردند.

### تائید انتقال

بعد از فرآیند انتقال پلاسمید pET28a به روش شوک حرارتی، برای تأیید صحت انتقال پلاسمید حاوی ژن pET28a، باکتری‌ها روی محیط حاوی آنتی‌بیوتیک آمپیسیلین رشد دادیم. باکتری‌های دریافت کننده پلاسمید به دلیل ژن مقاوم به آنتی‌بیوتیک آمپیسیلین رشد کردند و کلی تشكیل دادند. در این مرحله جهت اطمینان کنترل مثبت (باکتری‌هایی که پلاسمید pET28a حاوی ژن کد کننده اوریکاز را دریافت کرده‌اند) و کنترل منفی (آب جایگزین پلاسمید شده و به جای پلاسمید در میکروتیوب باکتری‌های مستعد ریخته شدند) قرار داده شد. باکتری‌های کنترل منفی روی پلیت حاوی آمپیسیلین رشد نکردند. نشان‌دهنده این است که آنتی‌بیوتیک به خوبی عمل می‌کند. اما باکتری‌های کنترل مثبت روی پلیت حاوی کانامایسین رشد کردند (پلاسمید pET28a حاوی ژن مقاوم به آنتی‌بیوتیک کانامایسین است). رشد این باکتری‌ها ثابت کرد که در فرآیند انتقال مشکلی وجود نداشته و تمام مراحل صحیح بوده است. این کنترل جهت اطمینان از صحیح بودن مراحل انتقال و مستعد بودن باکتری‌ها اعمال شد.

### کارایی انتقال

روی پلیت دارای آنتی‌بیوتیک حدوداً ۱۶۳ کلنج مشاهده شد. بنابراین طبق رابطه ژایمینگ تزو، تعداد کلنج‌های ترانسفورم شده این گونه محاسبه شد:

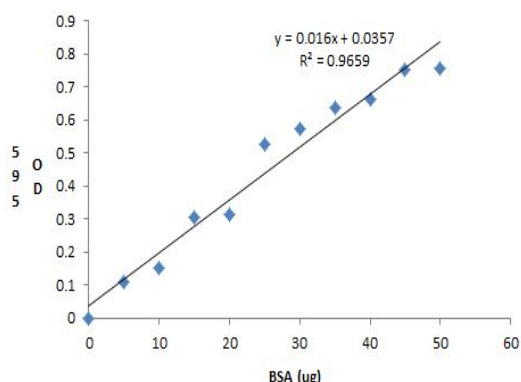
$$\text{CFU}^{326} = \frac{1}{50\mu\text{L}} \times 10^3 \times 100\mu\text{m}$$

DNA پلاسمیدی اضافه شده به باکتری‌های مستعد شده ۲ میکرولیتر با غلظت ۰/۰۵ نانوگرم بر میکرولیتر بود، طبق این معلومات کارایی انتقال با فرمول زیر به دست آمد:

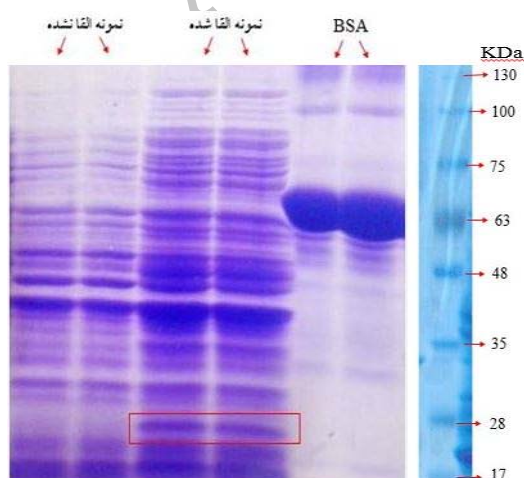
$$\mu\text{g}/\text{CFU}^{326} = \frac{1}{10^{-4}} \mu\text{CFU}^{326}$$

نمونه‌ها، غلظت کل پروتئین در نمونه‌های القا شده  $106 \text{ mg/ml}$  به دست آمد. این محاسبه با توجه به نمودار استاندارد و مقدار محلول پروتئینی برداشته شده برای بررسی جذب نوری انجام شد (نمودار شماره ۱).

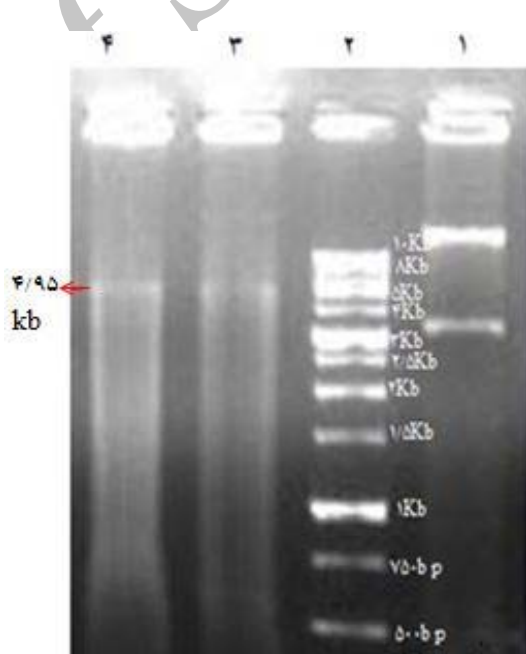
ژل سدیم دود سیل سولفات پلی‌آکریل آمید نتایج حاصل از بارگذاری نمونه‌ها روی SDS-PAGE بیان پروتئین مورد نظر ما را با وزن مولکولی  $20 \text{ kDa}$  نشان داد. باند موردنظر ما در برابر باند  $20 \text{ kDa}$  نشان داد. مشاهده می‌شود، این باند در نمونه القا نشده، وجود ندارد. این امر تأیید کننده بیان فرآگاسیاتوکسین در باکتری اشیرشیاکلی است.



نمودار شماره ۱: نمودار استاندارد جهت غلظت سنجه پروتئین به روش برادرفورد.



ژن کد کننده پروتئین فرآگاسیاتوکسین  $540$  و pBAT  $4416$  جفت باز طول دارند. نتایج حاصل از بارگذاری پلاسمیدهای استخراج شده و برش داده شده روی ژل آگارز ۱ درصد نشان داد که انتقال پلاسمید به خوبی صورت گرفته است (تصویر شماره ۳). در چاهک ۱، باندهای مربوط به پلاسمیدهای استخراج شده در کنفورماسیون‌های مختلف مشهود بود. این باندها ثابت کردند که فرایند انتقال به درستی بود. این باندها تأیید کردند که فرایند انتقال به درستی صورت گرفته است. در چاهک ۲ و ۴ مربوط به پلاسمید برش داده شده، یک باند  $4/95 \text{ Kbp}$  (ژن و پلاسمید) به شکل خطی به دلیل برش با آنزیم‌های NcoI و Hind III به شکل خطی درآمده است، در برابر باند مربوطه لدر مشاهده شد. این باند حضور ژن موردنظر در پلاسمید pBAT را ثابت کرد.



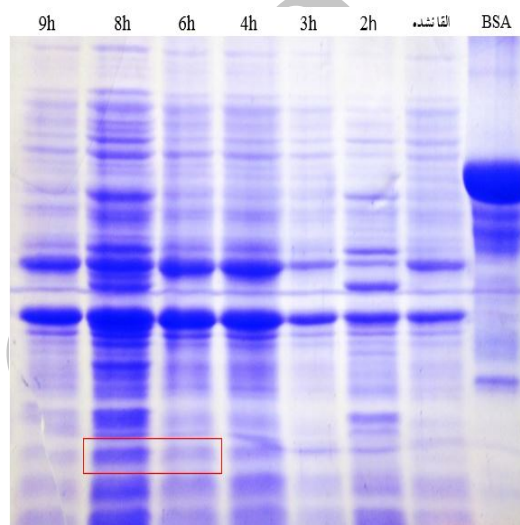
تصویر شماره ۲: نتایج حاصل از بارگذاری ژل آگارز. چاهک ۱ پلاسمیدهای استخراج شده در کنفورماسیون‌های مختلف را نشان می‌دهد. در چاهک ۲ لدر  $1 \text{ Kb}$  به مقدار  $5 \text{ میکرولتیر}$  بارگذاری شده است. چاهک ۳ پلاسمید حاوی ژن کد کننده فرآگاسیاتوکسین C را نشان می‌دهد که به وسیله آنزیم III Hind برداشته شده است. چاهک ۴ نیز پلاسمید به وسیله آنزیم NcoI برداشته شده است.

بعد از رسیدن محیط به کدورت مناسب القا توسط IPTG با موفقیت انجام شد. بعد از سونیکه کردن

دارای آنتی‌بیوتیک آمپی‌سیلین رشد داده شدند. این عمل جهت غربالگری باکتری‌های دریافت کننده پلاسمید انجام گرفت. باکتری‌های دریافت کننده پلاسمید به دلیل حضور ژن مقام به آمپی‌سیلین در پلاسمید، روی این محیط رشد کرده و کلنی تشکیل دادند. جهت حصول اطمینان، پلاسمیدها با استفاده از روش لیز قلیایی استخراج شدند. پلاسمیدهای استخراج شده جهت اطمینان از حضور ژن موردنظر به‌وسیله آنزیم‌های محدود‌الاثر مناسب برش داده و سپس پلاسمیدهای استخراجی و بریده شده، جهت مشاهده روی ژل آگارز ۱ درصد بارگذاری شدند. به دنبال انتقال پلاسمید به داخل باکتری، برای القا از IPTG با غلظت نهایی ۱mM استفاده شد. در فرایند بیان به باکتری‌ها کشت داده شده، IPTG اضافه شده و در دمای ۲۰ درجه سانتی‌گراد در انکوباتور شیکردار القا صورت گرفت. پس از جمع‌آوری باکتری‌های بیان کننده و لیز مکانیکی توسط دستگاه سونیکاتور، سنجش غلظت پروتئین به روش برادفورد با استفاده از منحنی استاندارد BSA صورت گرفت. نهایتاً مایع رویی محلول القا شده جهت مشاهده میزان تخلیص، روی SDS-PAGE بارگذاری شد. در این مطالعه باکتری‌ها به‌وسیله کلیسیم کلراید بر اساس روش کوهن و همکاران(۱۹) و فرایند انتقال نیز با روش شوک حرارتی انجام شد. باکتری‌ها با سه روش می‌توانند DNA را از محیط دریافت کنند: کانثوگاسیون، ترانسفورماسیون و ترانسداکشن. تنها ترانسفورماسیون راهی برای دریافت مستقیم پلاسمید است. کانثوگاسیون نیازمند ارتباط سلول-سلول از طریق زوائد جنسی و ترانسداکشن نیازمند باکتری‌وفاز واسط برای انتقال DNA از یک سلول به سلول‌های دیگر است. سلول‌ها در حضور کاتیون‌های دو ظرفیتی سرد مانند  $\text{CaCl}_2$  و  $\text{MgCl}_2$  نسبت به پلاسمید نفوذ‌پذیر می‌شوند. این سلول‌ها جهت نفوذ DNA پلاسمیدی تحت شوک حرارتی قرار می‌گیرند (دمای ۴۲°C به مدت ۶۰-۱۲۰ ثانیه). این روش برای پلاسمیدهای حلقوی کاربرد دارد(۲۱).

تصویر شماره ۳: بیان پروتئین فراغاکسیاتوکسین C. باند مشخص شده نشان دهنده بیان است (۲۰ KDa). در دو چاهک حاوی نمونه القا شده، باندهایی با وزن مولکولی ۲۰ KDa مشهود است. این باند در الگو باندهای اشیرشیاکلی وجود ندارد (نمونه‌های القا نشده). مارکر این شکل از ژل‌های کارشده قبلی گرفته شده است.

با توجه به تصویر شماره ۵ مشخص گردید که شرایط مطلوب برای بیان پروتئین فراغاکسیاتوکسین C ۶-۸ ساعت بعد از القا است. باند ۲۰ kDa موردنظر در چاهک‌های ۶ و ۸ ساعت بعد از القا غلظت مناسبی را نشان داد.



تصویر شماره ۴: بهینه‌سازی بیان پروتئین فراغاکسیاتوکسین C. در ۶-۸ ساعت بعد از القا بیشترین غلظت مشهود است. این باند در نمونه القا نشده وجود ندارد.

## بحث

سم‌های تشکیل دهنده منفذ، یکی از قوی‌ترین سلاح‌های بیولوژیکی طبیعت هستند. پایداری این سم‌ها در حالت محلول در آب یکی از ویژگی‌های قابل توجه این سم‌ها می‌باشد. بهمنظور تبدیل از حالت محلول در آب به حالت منافذ غشایی، این سم‌ها باید تحت تغییرات بزرگ کنفورماسیونی قرار گیرند(۲۰). در این مطالعه به‌منظور تکثیر پلاسمید pBAT حاوی ژن کد کننده پروتئین فراغاکسیاتوکسین C، ۲ میکرولت از آن به روش انتقال شیمیایی به باکتری اشیرشیاکلی سویه BL21 یافت. باکتری‌های موردنظر روی محیط LB آگار

لакتوز متصل شده و از اتصال آن به اپراتور Lac پلاسمید جلوگیری می‌کند. این عمل باعث می‌شود که RNA پلی‌مراز به پرومотор T-7 پلاسمید متصل شود و رونویسی ژن کلون شده در پلاسمید آغاز گردد. اتصالات ژنی از طریق تولید مولکول DNA نوترکیب برای تسهیل و بیان ژن به کار رفته شده است. غالباً، پیتیدها با  $\beta$ -گالاکتوزیداز ترکیب شده، سپس به عنوان پروتئین متصل شده با استفاده از جایگاه اتصال ریبوزوم و شروع ترجمه ژن LacZ در اشیرشیاکلی بیان می‌شوند(۲۵). سیستم‌های بیان باکتریایی برای تولید پروتئین‌های هترو‌لولوگوس بسیار جذاب هستند. چون آن‌ها توانایی رشد سریع و تراکم بالا در بسترها را ارزان قیمت را دارند(۲۶).

به طور کلی پروتئین‌های بیان شده در سیتوپلاسم یا فضای بین‌پلاسمیک تجمع می‌یابند. سیتوپلاسم انتخاب اول برای تولید و بیان پروتئین است. چون عملکرد بالایی را موجب می‌شود(۲۷). پرومоторهای Lac برای تولید پروتئین‌های غشایی و یا محصولات بسیاری از ژن‌ها که برای سلول‌ها سمی هستند، مزیتی به شمار می‌آید(۲۸). Bellomio و همکاران (۲۰۰۹) کلونینگ و تخلیص این پروتئین را با روش مورداستفاده ما با موفقیت انجام دادند(۲۹).

## سپاسگزاری

بدین وسیله از حمایت‌های مالی صندوق حمایت از پژوهشگران کشور و معافونت پژوهشی دانشگاه ارومیه که بودجه و امکانات لازم برای این تحقیق را فراهم آورده شکر و قدردانی به عمل می‌آید.

Takahashi و همکاران (۱۹۹۲) به وسیله انجماد سریع یک روش ساده برای انتقال پلاسمید به اشیرشیاکلی گزارش کردند(۱۵). کارایی انتقال در آزمایش‌های کلونینگ مولکولی بسیار مهم است و می‌تواند متأثر از عوامل مختلف باشد. اولین عامل مؤثر این است که سلول‌ها باید در ابتدای مرحله رشد لگاریتمی باشند. سلول‌های موجود در این مرحله آسان‌تر از سلول‌های موجود در سایر مراحل مستعد می‌شوند. چون سلول‌های این مرحله زنده، سالم و از نظر متابولیکی فعال می‌باشند(۲۱). Ryu و همکاران (۱۹۹۰) به اهمیت اوایل مرحله لگاریتمی اشاره کردند(۲۲).

عامل دومی که می‌تواند بر کارایی انتقال مؤثر باشد، این است که سلول‌های مستعد در هنگام نگهداری و استفاده در محیط سرد باشند. Dagerl و همکاران (۱۹۷۹) گزارش کرد که سلول‌های مستعد می‌توانند در دمای  $4-40^{\circ}\text{C}$  برای ۴۸ ساعت در کلسیم کلراید نگهداری شوند. در ۲۴-۳۵ ساعت اولیه کارایی انتقال ۳-۵ برابر افزایش می‌یابد. اگر باکتری‌های مستعد در ۲۰-درجه سانتی گراد نگهداری شوند، کارایی انتقال بالایی را در ۷-۲ روز دارند(۲۳). سومین عامل مهم غلظت کلسیم کلراید است. معمولاً کلسیم کلراید ۱۰۰-۵۰ میلی‌مولار استفاده می‌شود(۲۴).

در این مطالعه بر اساس اطلاعات ارائه شده، سعی گردید که باکتری‌ها، جهت مستعد کردن در مرحله مناسب رشد انتخاب گرددند. هم‌چنین باکتری‌های مستعد در دمای ۲۰-نگهداری شدند و چند ساعت بعد از مستعد شدن برای انتقال مورد استفاده قرار گرفتند. کلسیم کلراید نیز با غلظت ۱۰۰ میلی‌مولار استفاده شد. در طی بیان IPTG و لакتوز مورداستفاده به مهار کننده

## References

- Iacovache I, van der Goot FG, Pernot L. Pore formation: an ancient yet complex form of attack. *Biochimica et Biophysica Acta (BBA)*. Biomembranes et Biophysica Acta 2008; 1778(7-8): 1611-1623.

2. Bischofberger M, Gonzalez MR, van der Goot FG. Membrane injury by pore-forming proteins. *Current Opinion in Cell Biology* 2009; 21(4): 589-595.
3. Parker MW, Feil SC. Pore-forming protein toxins: from structure to function. *Prog Biophys Mol Biol* 2005; 88(1): 91-142.
4. Gouaux E. Channel-forming toxins: tales of transformation. *Curr Opin Struct Biol* 1997; 7(4): 566-573.
5. Iacovache I, Bischofberger M, van der Goot FG. Structure and assembly of pore-forming proteins. *Curr Opin Struct Biol* 2010; 20(2): 241-246.
6. Kristan KČ, Viero G, Dalla Serra M, Maček P, Anderluh G. Molecular mechanism of pore formation by actinoporins. *Toxicon* 2009; 54(8): 1125-1134.
7. Alegre-Cebollada J, Oñaderra M, Gavilanes JG, del Pozo AM. Sea anemone actinoporins: the transition from a folded soluble state to a functionally active membrane-bound oligomeric pore. *Curr Protein Pept Sci* 2007; 8(6): 558-572.
8. Carter MA, Thorpe JP. Reproductive, genetic and ecological evidence that *Actinia equina* var. *mesembryanthemum* and var. *fragacea* are not conspecific. *Journal of the Marine Biological Association of the United Kingdom* 1981; 61(01): 79-93.
9. Walton CL. Notes on various British Anthozoa. *Journal of the Marine Biological Association of the United Kingdom (New Series)* 1911; 9(02): 236-242.
10. Honma T, Shiomi K. Peptide toxins in sea anemones: structural and functional aspects. *Marine Biotechnology* 2006; 8(1): 1-10.
11. Anderluh G, Maček P. Cytolytic peptide and protein toxins from sea anemones (Anthozoa: Actiniaria). *Toxicon* 2002; 40(2): 111-124.
12. Álvarez C, Mancheño JM, Martínez D, Tejucá M, Pazos F, Lanio ME. Sticholysins, two pore-forming toxins produced by the Caribbean Sea anemone *Stichodactyla helianthus*: their interaction with membranes. *Toxicon* 2009; 54(8): 1135-1147.
13. Kristan K, Viero G, Macek P, Dalla Serra M, Anderluh G. The equinatoxin Nterminus is transferred across planar lipid membranes and helps to stabilize the transmembrane pore. *FEBS J* 2007; 274(2): 539-550.
14. Mancheño JM, Martín-Benito J, Martínez-Ripoll Mn, Gavilanes JG, Hermoso JA. Crystal and electron microscopy structures of sticholysin II actinoporin reveal insights into the mechanism of membrane pore formation. *Structure* 2003; 11(11): 1319-1328.
15. Potrich C, Tomazzolli R, Dalla Serra M, Anderluh G, Malovrh P, Macek P, et al. Cytotoxic activity of a tumor protease-activated pore-forming toxin. *Bioconjug Chem* 2005; 16(2): 369-376.
16. Panchal R, Smart M, Bowser D, Williams D, Petrou S. Pore-forming proteins and their application in biotechnology. *Curr Pharm Biotechnol* 2002; 3(2): 99-115.
17. Pastan I, Kreitman RJ. Immunotoxins for targeted cancer therapy. *Adv Drug Deliv Rev* 1998; 31(1-2): 53-88.
18. Tu Z, He G, Li KX, Chen MJ, Chang J, Chen L, et al. An improved system for competent cell preparation and high efficiency plasmid transformation using different *Escherichia coli* strains. *Electronic Journal of Biotechnology* 2005; 8(1): 113-120.
19. Moran Y, Gordon D, Gurevitz M. Sea anemone toxins affecting voltage-gated sodium channels–molecular and evolutionary features. *Toxicon* 2009; 54(8): 1089-1101.

20. Dubnau D. DNA uptake in bacteria. *Annu Rev Microbiol* 1999; 53(1): 217-244.
21. Takahashi R, Valeika SR, Glass KW. A simple method of plasmid transformation of *E. coli* by rapid freezing. *Biotechniques* 1992; 13(5): 711-715.
22. Ryu J, Hartin RJ. Quick transformation in *Salmonella typhimurium* LT2. *Bio Techniques* 1990; 8(1): 43-45.
23. Dagert M, Ehrlich SD. Prolonged incubation in calcium chloride improves the competence of *Escherichia coli* cells. *Gene* 1979; 6(1): 23-38.
24. Brian P, Heler M. High efficiency 5 min transformation of *E. coli*. *Nucleic Acids Res* 1996; 24(3): 536-537.
25. Löwenadler B, Nilsson B, Abrahmsen L, Moks T, Ljungqvist L, Holmgren E, et al. Production of specific antibodies against protein A fusion proteins. *The EMBO journal* 1986; 5(9): 2393-2398.
26. Schmidt FR. Recombinant expression systems in the pharmaceutical industry. *Appl Microbiol Biotechnol* 2004; 65(4): 363-372.
27. Georgiou G, Segatori L. Preparative expression of secreted proteins in bacteria: status report and future prospects. *Curr Opin Biotechnol* 2005; 16(5): 538-545.
28. De Boer HA, Comstock LJ, Vasser M. The tac promoter: a functional hybrid derived from the trp and lac promoters. *Proc Natl Acad Sci USA* 1983; 80(1): 21-25.
29. Bellomio A, Morante K, Barlič A, Gutiérrez-Aguirre I, Viguera AR, González-Mañas JM. Purification, cloning and characterization of fragaceatoxin C, a novel actinoporin from the sea anemone *Actinia fragacea*. *Toxicon* 2009; 54(6): 869-880.